

## DAFTAR PUSTAKA

- Bhattacharyya, B. K., 1964. Magnetic Anomalies Due to Prism-Bodies With Arbitrary Polarization. *Geophysic*, XXIX(4), pp. 517-531.
- Blakely, R. J., 1995. *Potential Theory in Gravity and Magnetic Applications*. Cambridge: Cambridge University Press.
- Broto, S. & Putranto, T. T., 2011. Aplikasi Metode Geomagnet Dalam Eksploasi Panasbumi. *TEKNIK*, 32(1), pp. 79-87.
- Grandis, H., 2009. *Pengantar Pemodelan Inversi Geofisika*. Bandung: Himpunan Ahli Geofisika Indonesia.
- Haerudin, N. & Karyanto, 2007. Aplikasi Metode Polinomial Least Square Berbasis MATLAB Untuk Memisahkan Efek Residual Anomali Regional Pada Data Gravitasi. *Jurnal Sains MIPA*, pp. 32-36.
- Hinze, W. J., Frese, R. B. V. & Saad, A. H., 2013. *Graviy and Magnetic Exploration*. 1st penyunt. New York: Cambride University Press.
- Hisikawan, P., 2016. Pengaruh Pola Kontur Hasil Kontinuasi Ke Atas Pada Data Geomagnetik Interpretasi Reduksi Ke Kutub. *Saintifika*, Juny, 18(1), pp. 18-26.
- Nugraha, Y. A., Hiskiawan, P. & S., 2015. Kontinuasi ke Atas Anomali Bawah Permukaan Memanfaatkan Data Magnetik di DAS Bedadung Wilayah Kota Jember. *Jurnal Ilmu Dasar*, pp. 69-74.
- Nurdin, N. H., Massinai, M. A. & Aswad, S., 2017. Identifikasi Pola Sebaran Intrusi Batuan Bawah Permukaan Menggunakan Metode Geomagnet di Sungai Jenelata Kabupaten Gowa. *Jurnal Geocelbes*, 1(1), pp. 17-22.
- Nurwati, T., 2009. *Modul Pengolahan Sinyal*. Jakarta: UTA45 Jakarta.
- Purnomo, J., Koesuma, S. & Yuniyanto, M., 2013. Pemisahan Anomali Regional-Residual Pada Metode Gravitasi Menggunakan Metode Moving Average, Polinomial, dan Inversi. *Indonesian Journal of Applied Physics*, pp. 1-10.

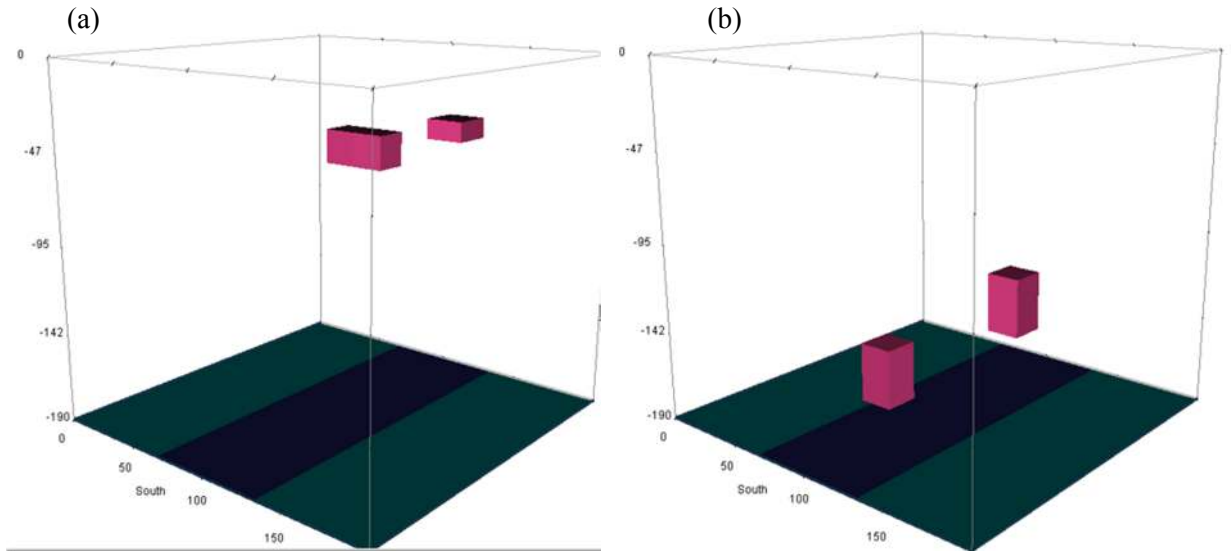


- Rochim, S., 2008. *Pengolahan Sinyal Digital Desain Filter Digital Nonrekursif Dengan Menggunakan Metode Window*. Bandung: Institut Teknologi Bandung.
- Satiawan, S., 2009. *Aplikasi Kontinuasi Ke Atas dan Filter Panjang Gelombang untuk Pemisahan Anomali Regional-Residual Pada Data Geomagnetik*, Bandung: Institut Teknologi Bandung.
- Serway, R. A. & Jewett, J. W., 2014. *Physics For Scientists and Engineers with Modern Physics*. 9th penyunt. Boston: Brooks/Cools.
- Telford, W. M., Geldart, L. P. & Sheriff, R. E., 1990. *Applied Geophysic Second Edition*. Cambridge: Cambridge University Press.

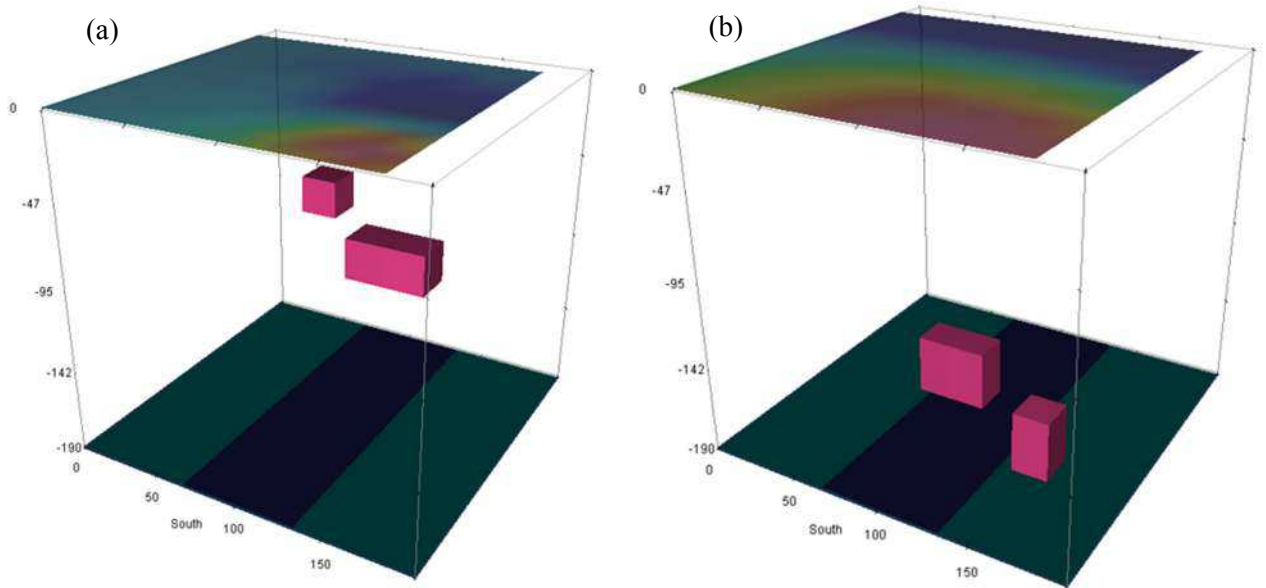


## LAMPIRAN

### A. Model I dan Model II (anomali dangkal dan anomali dalam)



Model I (a) Anomali Dangkal (b) Anomali Dalam



Model II (a) Anomali Dangkal (b) Anomali Dalam





model I

		y	nT
1	0	0	2,006155
2	0	20	2,347112
3	0	40	2,752445
4	0	60	3,2572
5	0	80	3,888369
6	0	100	4,556539
7	0	120	4,786419
8	0	140	3,476804
9	0	160	-0,21676
10	0	180	-4,63597
11	20	0	2,473774
12	20	20	2,98778
13	20	40	3,654365
14	20	60	4,590189
15	20	80	5,986527
16	20	100	8,005224
17	20	120	10,23197
18	20	140	10,39775
19	20	160	4,822939
20	20	180	-4,41496
21	40	0	2,891436
22	40	20	3,568879

23	40	40	4,48131
24	40	60	5,82562
25	40	80	7,98808
26	40	100	11,54699
27	40	120	16,60278
28	40	140	19,98963
29	40	160	13,27143
30	40	180	-2,71593
31	60	0	3,202485
32	60	20	4,00376
33	60	40	5,085564
34	60	60	6,661276
35	60	80	9,163772
36	60	100	13,33695
37	60	120	19,65076
38	60	140	24,80879
39	60	160	17,82038
40	60	180	-1,70476
41	80	0	3,36801
42	80	20	4,243483
43	80	40	5,411721
44	80	60	7,025718
45	80	80	9,307921

46	80	100	12,52349
47	80	120	16,64817
48	80	140	19,12249
49	80	160	12,18453
50	80	180	-3,53777
51	100	0	3,374272
52	100	20	4,287011
53	100	40	5,52638
54	100	60	7,225825
55	100	80	9,371779
56	100	100	11,20613
57	100	120	10,95262
58	100	140	7,974517
59	100	160	1,884234
60	100	180	-6,32189
61	120	0	3,224518
62	120	20	4,145208
63	120	40	5,495491
64	120	60	7,624837
65	120	80	10,99715
66	120	100	14,61721
67	120	120	11,08797
68	120	140	-1,09283



	160	-6,52278	
	180	-7,98662	
	0	2,928842	
72	140	20	3,800618
73	140	40	5,203838
74	140	60	7,845394
75	140	80	13,56582
76	140	100	24,64548
77	140	120	25,45057
78	140	140	-4,1124
79	140	160	-12,1033

80	140	180	-8,53728
81	160	0	2,509931
82	160	20	3,238145
83	160	40	4,447618
84	160	60	6,831754
85	160	80	12,23363
86	160	100	22,99647
87	160	120	23,67952
88	160	140	-5,49768
89	160	160	-12,4808
90	160	180	-7,78659

91	180	0	2,016621
92	180	20	2,522845
93	180	40	3,305792
94	180	60	4,656855
95	180	80	7,000205
96	180	100	9,438703
97	180	120	5,088146
98	180	140	-6,3857
99	180	160	-8,64102
100	180	180	-6,01064

### C. Data model II

No	x	y	nT
1	0	0	2,384566
2	0	20	-0,80019
3	0	40	-4,44955
4	0	60	-8,2873
5	0	80	-12,0869
6	0	100	-15,4483
7	0	120	-17,6253
8	0	140	-18,0191
9	0	160	-16,7988
10	0	180	-14,6882

11	20	0	5,982171
12	20	20	1,754749
13	20	40	-3,13218
14	20	60	-8,15672
15	20	80	-13,3235
16	20	100	-18,5776
17	20	120	-22,4836
18	20	140	-23,2562
19	20	160	-21,1282
20	20	180	-17,7464
21	40	0	12,33159

22	40	20	6,527325
23	40	40	-0,28698
24	40	60	-6,53717
25	40	80	-12,6175
26	40	100	-20,5731
27	40	120	-28,3014
28	40	140	-30,3156
29	40	160	-26,6818
30	40	180	-21,2998
31	60	0	24,15738
32	60	20	15,84359



60	40	4,8821	
60	60	-3,69401	
60	80	-9,03286	
36	60	100	-19,163
37	60	120	-34,0237
38	60	140	-38,9962
39	60	160	-33,1316
40	60	180	-25,0147
41	80	0	47,33415
42	80	20	36,00453
43	80	40	14,7277
44	80	60	-3,87841
45	80	80	-10,3181
46	80	100	-19,6462
47	80	120	-40,5847
48	80	140	-47,937
49	80	160	-39,1291
50	80	180	-28,182
51	100	0	92,20926
52	100	20	82,66998
53	100	40	40,37346
54	100	60	-11,2879
55	100	80	-34,8199

56	100	100	-41,6855
57	100	120	-54,3575
58	100	140	-55,312
59	100	160	-42,8534
60	100	180	-30,0398
61	120	0	167,1035
62	120	20	178,8892
63	120	40	109,083
64	120	60	-14,2966
65	120	80	-81,2334
66	120	100	-84,277
67	120	120	-73,9501
68	120	140	-60,1607
69	120	160	-43,817
70	120	180	-30,3783
71	140	0	253,5023
72	140	20	311,3346
73	140	40	224,2894
74	140	60	2,456445
75	140	80	-124,244
76	140	100	-121,87
77	140	120	-89,1505
78	140	140	-62,3308

79	140	160	-42,9478
80	140	180	-29,5892
81	160	0	293,1754
82	160	20	378,5175
83	160	40	287,5404
84	160	60	13,79637
85	160	80	-144,089
86	160	100	-137,83
87	160	120	-94,2079
88	160	140	-61,4589
89	160	160	-40,966
90	160	180	-28,138
91	180	0	248,5567
92	180	20	304,4773
93	180	40	214,9562
94	180	60	-9,23447
95	180	80	-135,886
96	180	100	-128,452
97	180	120	-88,0933
98	180	140	-57,1584
99	180	160	-38,0033
100	180	180	-26,2639

D. Kartu kontrol bimbingan tugas akhir



E. Kartu kontrol seminar tugas akhir mahasiswa

